

Figura e1. Risultati metanalitici per le 9 città in studio, relativi all'associazione tra ricoveri per **eventi coronarici acuti** e inquinamento atmosferico, per inquinante e lag (da modelli a lag distribuiti vincolati polinomiali cubici): incrementi percentuali di rischio e intervalli di confidenza al 95%, corrispondenti a variazioni di $10 \mu\text{g}/\text{m}^3$ dell'inquinante, 2001-2005 (periodo aprile-settembre per l'ozono).

Figure e1. Pooled results for the 9 cities, on the association between hospitalizations for **coronary syndrome** and air pollution, by pollutant and lag (from cubic polynomial distributed lag models): percent increases of risk, and 95% confidence intervals, relative to $10 \mu\text{g}/\text{m}^3$ variations in the pollutant, 2001-2005 (April-September for ozone).

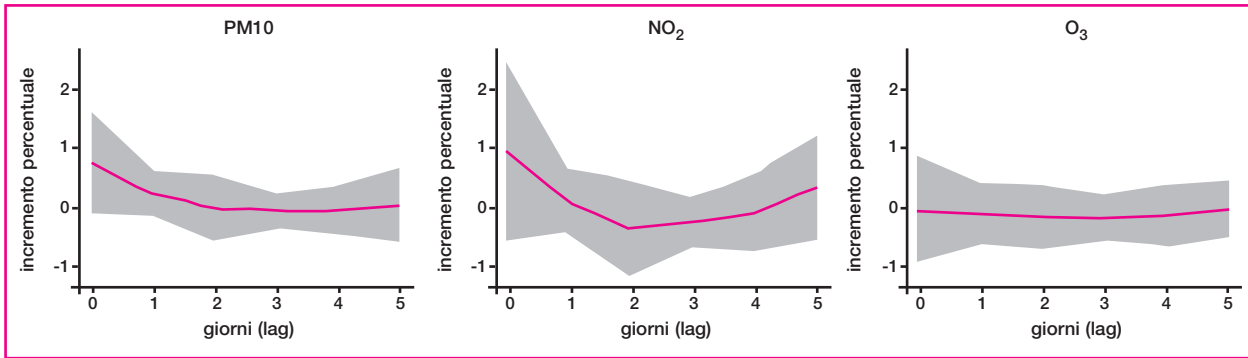


Figura e2. Risultati metanalitici per le 9 città in studio, relativi all'associazione tra ricoveri per **disturbi della conduzione e aritmie** e inquinamento atmosferico, per inquinante e lag (da modelli a lag distribuiti vincolati polinomiali cubici): incrementi percentuali di rischio e intervalli di confidenza al 95%, corrispondenti a variazioni di $10 \mu\text{g}/\text{m}^3$ dell'inquinante, 2001-2005 (periodo aprile-settembre per l'ozono).

Figure e2. Pooled results for the 9 cities, on the association between hospitalizations for **conduction disorders and arrhythmias** and air pollution, by pollutant and lag (from cubic polynomial distributed lag models): percent increases of risk, and 95% confidence intervals, relative to $10 \mu\text{g}/\text{m}^3$ variations in the pollutant, 2001-2005 (April-September for ozone).

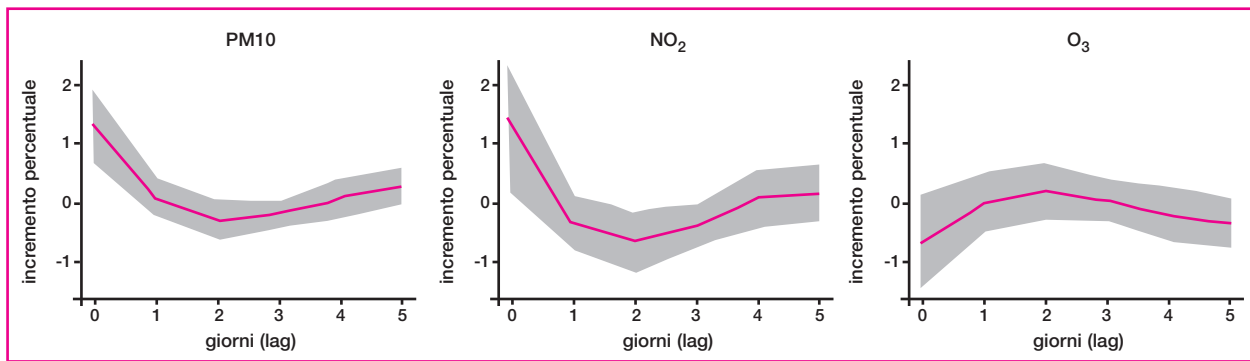


Figura e3. Risultati metanalitici per le 9 città in studio, relativi all'associazione tra ricoveri per **scompenso cardiaco** e inquinamento atmosferico, per inquinante e lag (da modelli a lag distribuiti vincolati polinomiali cubici): incrementi percentuali di rischio e intervalli di confidenza al 95%, corrispondenti a variazioni di 10 µg/m³ dell'inquinante, 2001-2005 (periodo aprile-settembre per l'ozono).

Figure e3. Pooled results for the 9 cities, on the association between hospitalizations for **heart failure** and air pollution, by pollutant and lag (from cubic polynomial distributed lag models): percent increases of risk, and 95% confidence intervals, relative to 10 µg/m³ variations in the pollutant, 2001-2005 (April-September for ozone).

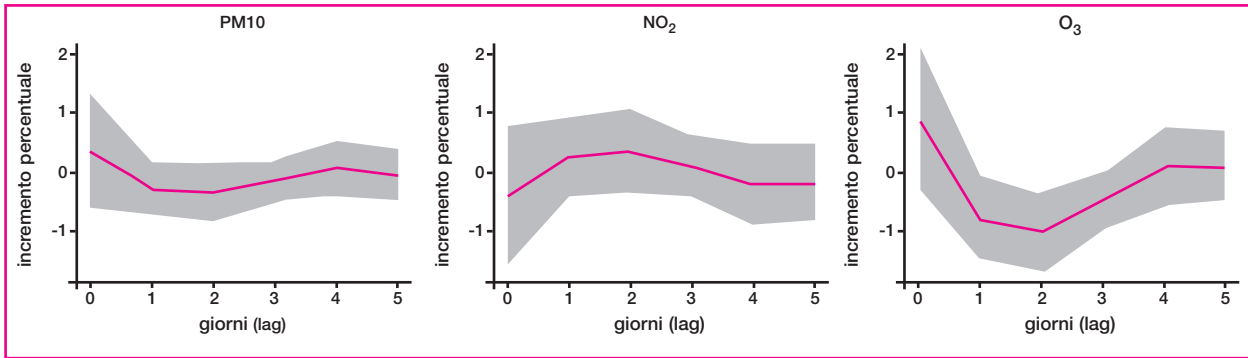


Figura e4. Risultati metanalitici per le 9 città in studio, relativi all'associazione tra ricoveri per **ictus ischemico** e inquinamento atmosferico, per inquinante e lag (da modelli a lag distribuiti vincolati polinomiali cubici): incrementi percentuali di rischio e intervalli di confidenza al 95%, corrispondenti a variazioni di 10 µg/m³ dell'inquinante, 2001-2005 (periodo aprile-settembre per l'ozono).

Figure e4. Pooled results for the 9 cities, on the association between hospitalizations for **ischemic stroke** and air pollution, by pollutant and lag (from cubic polynomial distributed lag models): percent increases of risk, and 95% confidence intervals, relative to 10 µg/m³ variations in the pollutant, 2001-2005 (April-September for ozone).

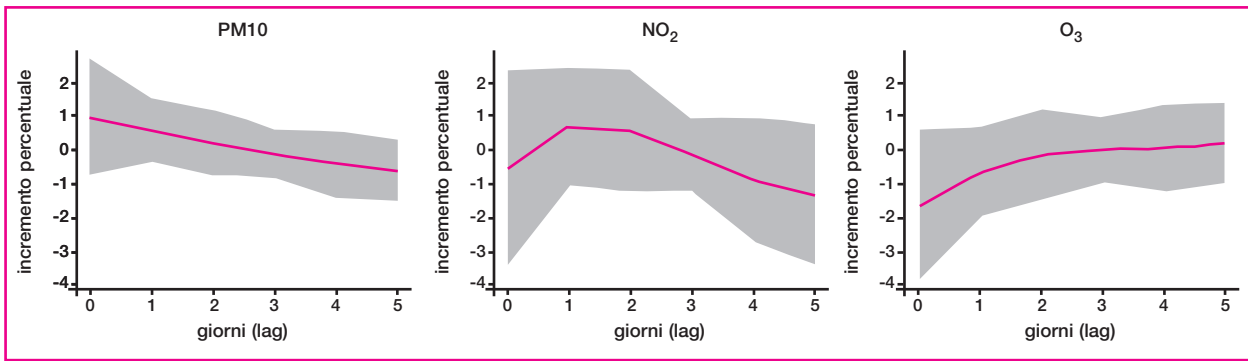


Figura e5. Risultati metanalitici per le 9 città in studio, relativi all'associazione tra ricoveri per **tromboflebite** e inquinamento atmosferico, per inquinante e lag (da modelli a lag distribuiti vincolati polinomiali cubici): incrementi percentuali di rischio e intervalli di confidenza al 95%, corrispondenti a variazioni di 10 µg/m³ dell'inquinante, 2001-2005 (periodo aprile-settembre per l'ozono).

Figure e5. Pooled results for the 9 cities, on the association between hospitalizations for **thrombophlebitis** and air pollution, by pollutant and lag (from cubic polynomial distributed lag models): percent increases of risk, and 95% confidence intervals, relative to 10 µg/m³ variations in the pollutant, 2001-2005 (April-September for ozone).

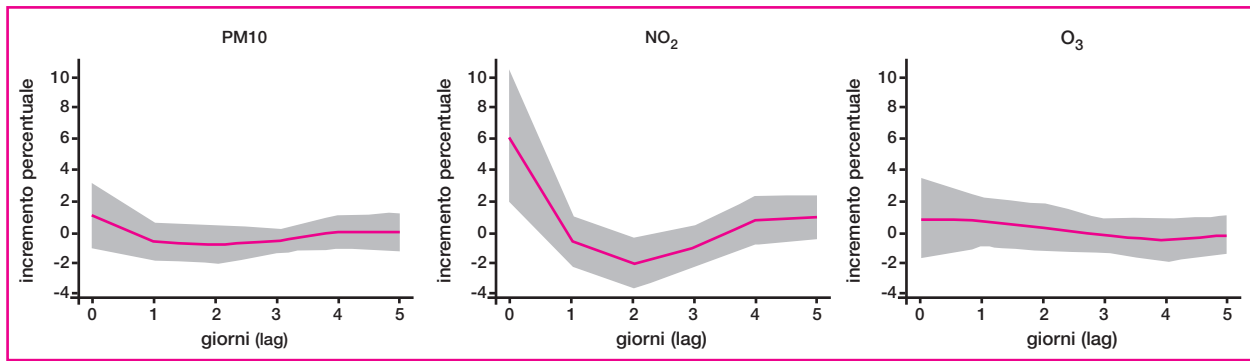


Figura e6. Risultati metanalitici per le 9 città in studio, relativi all'associazione tra ricoveri per **embolia polmonare** e inquinamento atmosferico, per inquinante e lag (da modelli a lag distribuiti vincolati polinomiali cubici): incrementi percentuali di rischio e intervalli di confidenza al 95%, corrispondenti a variazioni di 10 µg/m³ dell'inquinante, 2001-2005 (periodo aprile-settembre per l'ozono).

Figure e6. Pooled results for the 9 cities, on the association between hospitalizations for **pulmonary embolism** and air pollution, by pollutant and lag (from cubic polynomial distributed lag models): percent increases of risk, and 95% confidence intervals, relative to 10 µg/m³ variations in the pollutant, 2001-2005 (April-September for ozone).

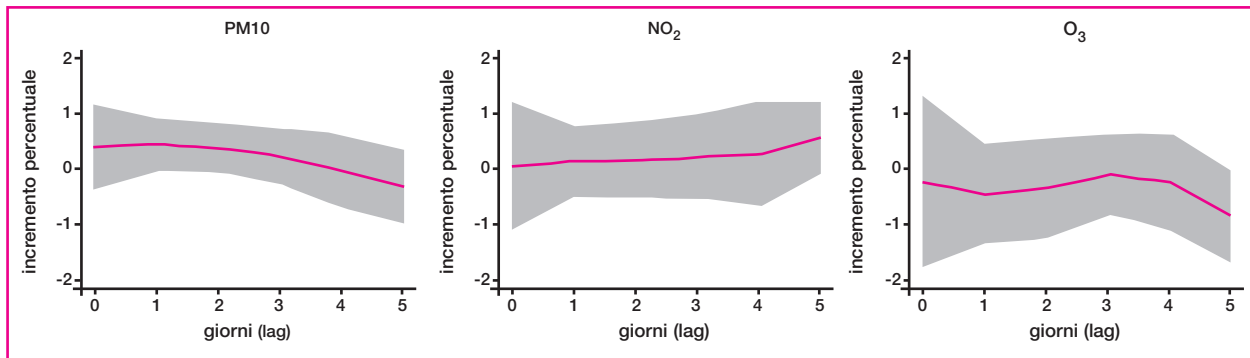


Figura e7. Risultati metanalitici per le 9 città in studio, relativi all'associazione tra ricoveri per **asma, bronchiti e polmoniti in soggetti di 0-14 anni** e inquinamento atmosferico, per inquinante e lag (da modelli a lag distribuiti vincolati polinomiali cubici): incrementi percentuali di rischio e intervalli di confidenza al 95%, corrispondenti a variazioni di 10 µg/m³ dell'inquinante, 2001-2005 (periodo aprile-settembre per l'ozono).

Figure e7. Pooled results for the 9 cities, on the association between hospitalizations for **asthma, bronchitis and pneumonia in 0-14 years old** and air pollution, by pollutant and lag (from cubic polynomial distributed lag models): percent increases of risk, and 95% confidence intervals, relative to 10 µg/m³ variations in the pollutant, 2001-2005 (April-September for ozone).

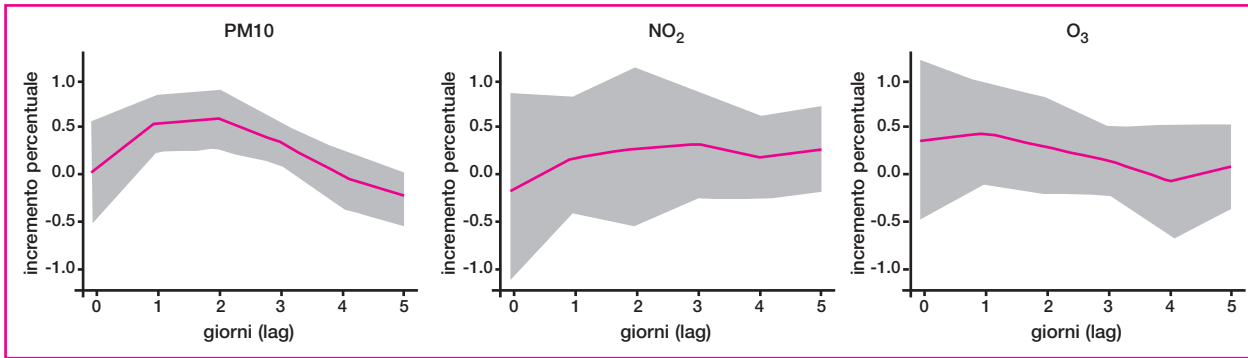


Figura e8. Risultati metanalitici per le 9 città in studio, relativi all'associazione tra ricoveri per **bronchite e polmonite** e inquinamento atmosferico, per inquinante e lag (da modelli a lag distribuiti vincolati polinomiali cubici): incrementi percentuali di rischio e intervalli di confidenza al 95%, corrispondenti a variazioni di 10 $\mu\text{g}/\text{m}^3$ dell'inquinante, 2001-2005 (periodo aprile-settembre per l'ozono).

Figure e8. Pooled results for the 9 cities, on the association between hospitalizations for **bronchitis and pneumonia** and air pollution, by pollutant and lag (from cubic polynomial distributed lag models): percent increases of risk, and 95% confidence intervals, relative to 10 $\mu\text{g}/\text{m}^3$ variations in the pollutant, 2001-2005 (April-September for ozone).

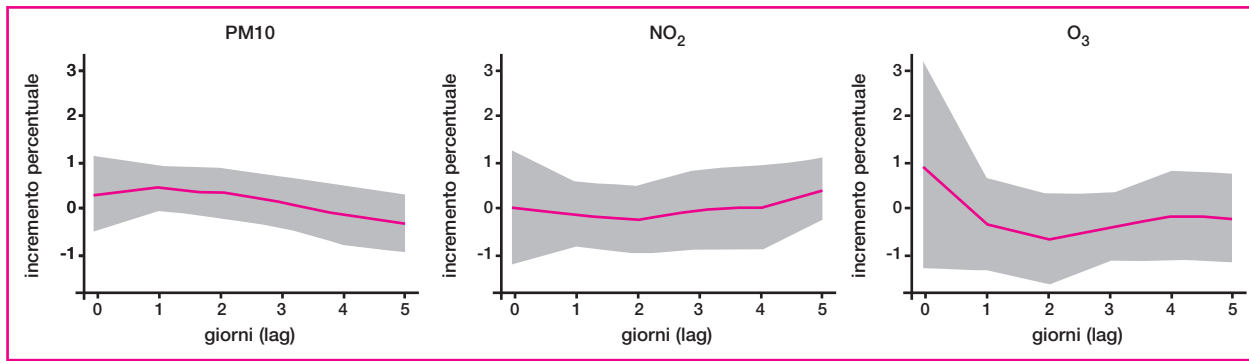


Figura e9. Risultati metanalitici per le 9 città in studio, relativi all'associazione tra ricoveri per **bronchite e polmonite in soggetti di 0-14 anni** e inquinamento atmosferico, per inquinante e lag (da modelli a lag distribuiti vincolati polinomiali cubici): incrementi percentuali di rischio e intervalli di confidenza al 95%, corrispondenti a variazioni di $10 \mu\text{g}/\text{m}^3$ dell'inquinante, 2001-2005 (periodo aprile-settembre per l'ozono).

Figure e9. Pooled results for the 9 cities, on the association between hospitalizations for **bronchitis and pneumonia in 0-14 years old** and air pollution, by pollutant and lag (from cubic polynomial distributed lag models): percent increases of risk, and 95% confidence intervals, relative to $10 \mu\text{g}/\text{m}^3$ variations in the pollutant, 2001-2005 (April-September for ozone).

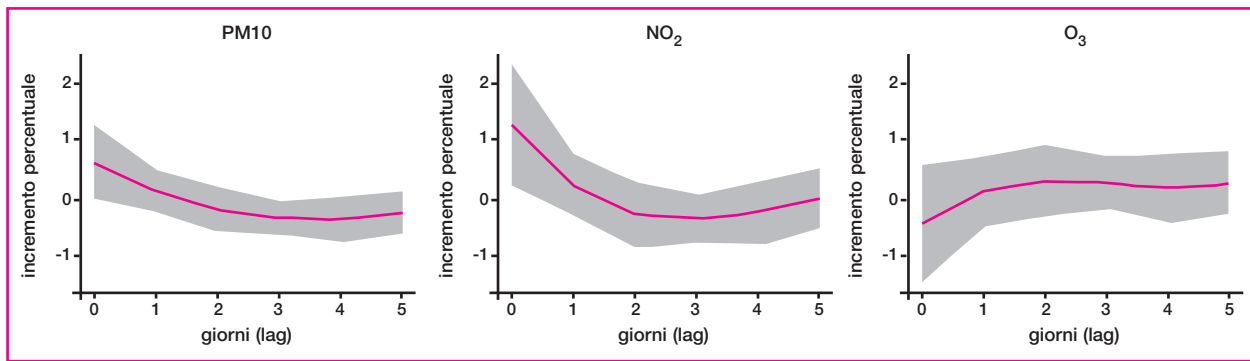


Figura e10. Risultati metanalitici per le 9 città in studio, relativi all'associazione tra ricoveri per **BPCO** e inquinamento atmosferico, per inquinante e lag (da modelli a lag distribuiti vincolati polinomiali cubici): incrementi percentuali di rischio e intervalli di confidenza al 95%, corrispondenti a variazioni di $10 \mu\text{g}/\text{m}^3$ dell'inquinante, 2001-2005 (periodo aprile-settembre per l'ozono).

Figure e10. Pooled results for the 9 cities, on the association between hospitalizations for **COPD** and air pollution, by pollutant and lag (from cubic polynomial distributed lag models): percent increases of risk, and 95% confidence intervals, relative to $10 \mu\text{g}/\text{m}^3$ variations in the pollutant, 2001-2005 (April-September for ozone).

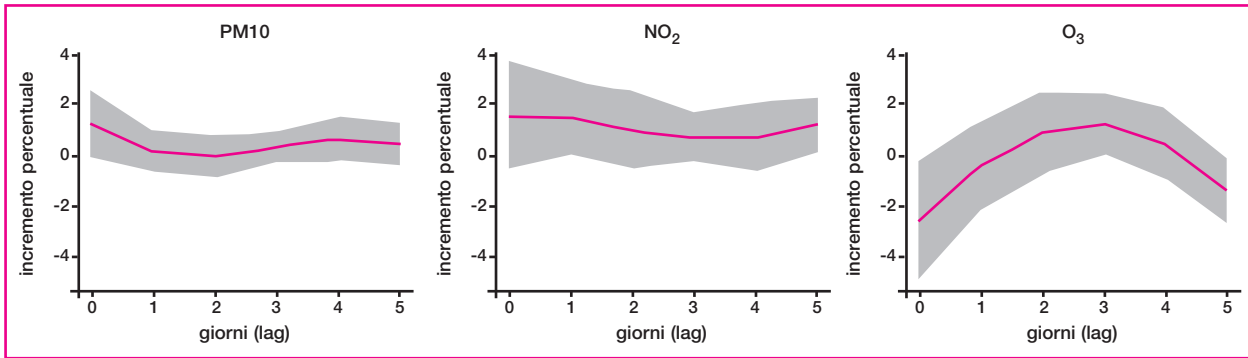


Figura e11. Risultati metanalitici per le 9 città in studio, relativi all'associazione tra ricoveri per *asma* e inquinamento atmosferico, per inquinante e lag da modelli a lag distribuiti vincolati polinomiali cubici: incrementi percentuali di rischio e intervalli di confidenza al 95%, corrispondenti a variazioni di 10 $\mu\text{g}/\text{m}^3$ dell'inquinante, 2001-2005 (periodo aprile-settembre per l'ozono).

Figure e11. Pooled results for the 9 cities, on the association between hospitalizations for *asthma* and air pollution, by pollutant and lag (from cubic polynomial distributed lag models): percent increases of risk, and 95% confidence intervals, relative to 10 $\mu\text{g}/\text{m}^3$ variations in the pollutant, 2001-2005 (April-September for ozone).

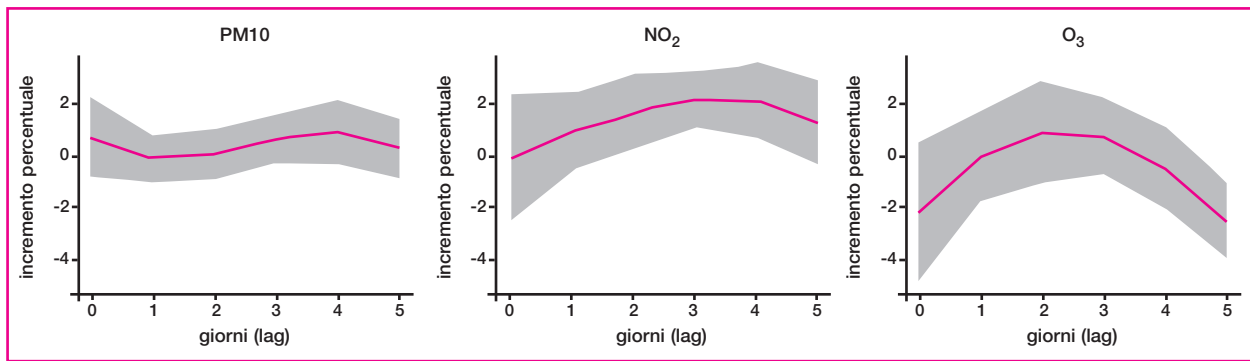


Figura e12. Risultati metanalitici per le 9 città in studio, relativi all'associazione tra ricoveri per **asma in soggetti di 0-14 anni** e inquinamento atmosferico, per inquinante e lag (da modelli a lag distribuiti vincolati polinomiali cubici): incrementi percentuali di rischio e intervalli di confidenza al 95%, corrispondenti a variazioni di $10 \mu\text{g}/\text{m}^3$ dell'inquinante, 2001-2005 (periodo aprile-settembre per l'ozono).

Figure e12. Pooled results for the 9 cities, on the association between hospitalizations for **asthma in 0-14 years old** and air pollution, by pollutant and lag (from cubic polynomial distributed lag models): percent increases of risk, and 95% confidence intervals, relative to $10 \mu\text{g}/\text{m}^3$ variations in the pollutant, 2001-2005 (April-September for ozone).

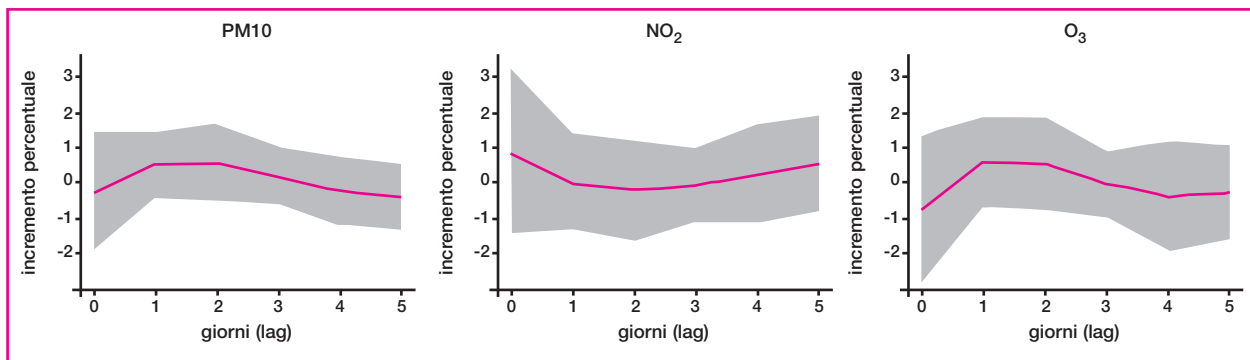


Figura e13. Risultati metanalitici per le 9 città in studio, relativi all'associazione tra ricoveri per **diabete complicato** e inquinamento atmosferico, per inquinante e lag (da modelli a lag distribuiti vincolati polinomiali cubici): incrementi percentuali di rischio e intervalli di confidenza al 95%, corrispondenti a variazioni di 10 µg/m³ dell'inquinante, 2001-2005 (periodo aprile-settembre per l'ozono).

Figure e13. Pooled results for the 9 cities, on the association between hospitalizations for **diabetes complications** and air pollution, by pollutant and lag (from cubic polynomial distributed lag models): percent increases of risk, and 95% confidence intervals, relative to 10 µg/m³ variations in the pollutant, 2001-2005 (April-September for ozone).